

# Solución

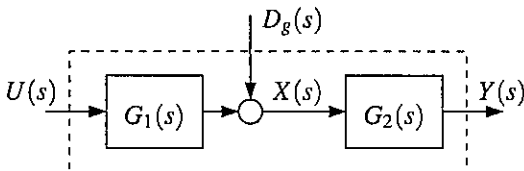
## ELO270 – S2 2015 – Control #6 – 13 de enero de 2016

**Problema 6.1 (20 puntos)** Considere una planta representada esquemáticamente por la figura más abajo en que

$$G_1(s) = \frac{4e^{-0.1s}}{s-2} \quad G_2(s) = \frac{-\alpha s + 1}{s}$$

Se sabe que la perturbación tiene energía en la banda de 0 a 5 [rad/s] y que el parámetro de  $G_2(s)$  está en el intervalo  $0,1 < \alpha < 0,2$

Se debe elegir entre medir la perturbación  $d_g(t)$  o bien medir la señal  $x(t)$  (sin ruido apreciable en cada uno de los dos casos). Diseñe un sistema de control en cada uno de los dos casos descritos y determine qué arquitectura de control es más conveniente de usar. Fundamente claramente su respuesta.



De la información disponible se desprenden varias criterios de diseño  
 1) pds instable en  $s=2 \Rightarrow$  Ancho de banda del lazo mayor que  $2 \frac{\pi}{3}$  rad para reducir overshoot

2) retraso de 0.1 seg  $\Rightarrow$  Se puede despreciar (o aproximar por Pedi)  
 El error de modelado (en ambos casos) sugiere elegir ancho de banda del lazo menor que  $10 \frac{\pi}{3}$  rad

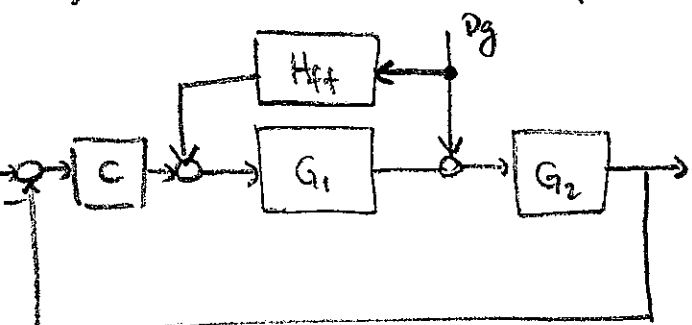
3) Cero de fase mínima en  $5 < \frac{1}{\omega} < 10 \Rightarrow$  Ancho de banda del lazo menor que  $5 \frac{\pi}{5}$  rad para reducir el undershoot.

4) El integrador en  $G_2(s)$  establece que, si el controlador tiene integración, entonces es inevitable el overshoot (no hay criterio claro sobre el impacto en el ancho de banda)

5) Si la perturbación  $d_g(t)$  tiene energía de 0 a  $5 \frac{\pi}{3}$  rad  $\Rightarrow$  el ancho de banda del lazo debe ser mayor que  $5 \frac{\pi}{5}$  rad

Noté que los requisitos/criterios de diseño 3) y 5) no pueden satisfacerse con un esquema de control de un grado de libertad.  
 A continuación se diseñan <sup>un</sup> esquema de control con prediminutación de la perturbación y otro con control en cascada.

## I) Preliminaria de la puerta basica:



- $H_{ff}$  debe ser un buen inversor (aproximado) de  $G_1$  en las bandas de 0 a  $\frac{5}{\zeta} \text{ rad}$
- No puede invertirse el cero presente en  $G_1$

$$\therefore \text{Se propone } H_{ff}(s) = -\frac{(s-2)}{4(\zeta s+1)} \text{ donde } \zeta < \frac{1}{2}$$

En segundo lugar el controlador  $C(s)$  se diseña por asignación de polos, despreciando el retardo en  $G_1$ , pero asignando un ancho de banda MENOR que  $5 \text{ rad/s}$  (por el cero de FNM presente en  $G_2$ ) pero MAYOR que  $2 \text{ rad/s}$  (por el polo inestable en  $G_1$ )

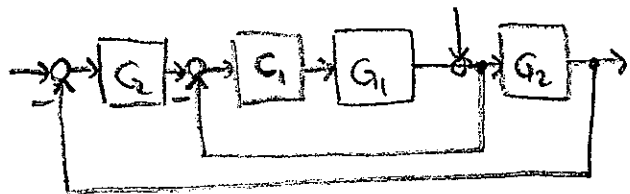
$$A_{cl} + B_{cl}P = A_{cl}$$

$$G_0 = \frac{B_0}{A_0} = \frac{4(\zeta s+1)}{(s-2)s} \quad \begin{matrix} M=2 \\ r=1 \text{ (antigüedad en C)} \\ \Rightarrow M_C=2 \end{matrix}$$

$$(s-2)s(s(s+l_0)) + 4(-\zeta s+1)(p_2 s^2 + p_1 s + p_0) = \underbrace{(s^2 + 2\zeta w_m s + w_m^2)}_{w_m=3} (s+5)^2$$

$$\text{De donde se obtiene } C(s) = \frac{p_2 s^2 + p_1 s + p_0}{s(s+l_0)} \quad \begin{matrix} \zeta = 0.75 \\ w_m = 3 \end{matrix}$$

## II) Control en Cascada:



$C_1(s)$  bajo externo se diseña por asignación de polos con ancho de banda MAYOR que  $5 \frac{\text{rad}}{\text{s}}$  (por la perturbación) pero MENOR que  $10 \frac{\text{rad}}{\text{s}}$  (porque se desprecia el retardo)

$$\therefore G_1(s) = \frac{4}{s-2} \quad \begin{matrix} M=1 \\ r=1 \end{matrix} \quad \left\{ M_C=1 \right\} \Rightarrow C_1(s) = \frac{p_1 s + p_0}{s}$$

$$A_{cl} + B_{cl}P = A_{cl_1} \Leftrightarrow (s-2)s + 4(p_1 s + p_0) = \underbrace{s^2 + 2\zeta w_m s + w_m^2}_{w_m=8} \quad \begin{matrix} \zeta = 0.75 \\ w_m = 8 \end{matrix}$$

$$\dots \text{Donde se obtiene } C_1(s) = \frac{2s+16}{s}$$

En el lazo externo,  $C_2$  se diseña para obtener ancho de banda MENOR que  $5 \frac{\text{rad}}{\text{s}}$ , por el cero en el SPD en  $G_2(s)$



$$\text{Dónde } T_{01} = \frac{4(p_1 s + p_0)}{s^2 + 2\zeta w_m s + w_m^2} \quad \left\{ \begin{matrix} M=3 \\ r=1 \text{ (antigüedad)} \\ \Rightarrow M_C=3 \end{matrix} \right.$$

$$G_2 = \frac{-\alpha s + 1}{s}$$

$$\begin{matrix} M=3 \\ r=1 \text{ (antigüedad)} \\ \Rightarrow M_C=3 \end{matrix}$$

$$C_2(s) = \frac{\tilde{p}_3 s^3 + \tilde{p}_2 s^2 + \tilde{p}_1 s + \tilde{p}_0}{s(s^2 + \tilde{\alpha}_1 s + \tilde{\alpha}_0)}$$

$$\tilde{A}_0 L + \tilde{B}_0 P = A_0 L_2$$

$$\underbrace{(s^2 + 23\omega_m s + \omega_m^2)}_{\text{datos}} s^2 (s^2 + \tilde{l}_1 s + \tilde{l}_0) + \underbrace{4(p_1 s + p_0)(-\alpha s + 1)}_{\text{datos}} (\tilde{p}_3 s^3 + \tilde{p}_2 s^2 + \tilde{p}_1 s + \tilde{p}_0) =$$

$$(s^2 + 2 - 0.25 \cdot 3 s + 3^2) \\ (s + 5)(s + 7)(s + 9)$$

¿ Cuál esquema es más conveniente de usar ?

AMBOS esquemas logran tomar en cuenta los requisitos de diseño.

Se puede argumentar que para compensar las perturbaciones, es más efectivo hacerlo con cada uno en cascada pues  $H_{ff}$  no logra invertir el retraso en  $G_1$ .

( Se podrían calcular las sensibilidades obtenidas en ambos casos :

$$I) \frac{Y}{Dg} = \frac{G_2 (1 + H_{ff} G_1)}{1 + G_1 G_2 C} \quad \text{en que } G_1 H_{ff} = -\frac{e^{-0.15}}{\tau s + 1}$$

$$II) \frac{Y}{Dg} = \frac{S_1 G_2}{1 + T_1 G_2 C_2} = \frac{G_2}{1 + G_1 C_1 + G_1 G_2 C_1 C_2}$$

... y de este forma comparar los diseño obtenidos )